

AES 中 SubBytes 算法在 FPGA 的实现

姜 强, 谢 军

(电子科技大学 通信与信息工程学院, 四川 成都 611731)

摘 要: 介绍了 AES 中, SubBytes 算法在 FPGA 的具体实现。构造 SubBytes 的 S-Box 转换表可以直接查找 ROM 表来实现。通过分析 SubBytes 算法得到一种可行性硬件逻辑电路, 从而实现 SubBytes 变换的功能。

关键词: 高级加密标准; SubBytes; 现场可编程逻辑门阵列

中图分类号: TP309

文献标识码: A

SubBytes algorithm of AES in the FPGA implementation

JIANG Qiang, XIE Jun

(School of Communication and Information Engineering, University of Electronic Science and Technology, Chengdu 611731, China)

Abstract: This article describes the SubBytes algorithm of AES in FPGA implementation. Build SubBytes of S-Box transform table is directly through ROM table to achieve. By analyzing the SubBytes algorithm, the article find a kind of hardware logic circuits which can achieve SubBytes transform function.

Key words: AES; SubBytes; FPGA

高级加密标准 AES(Advanced Encryption Standard)是一种对称密码算法。数据分组长度为 128 bit, 密钥长度可以为 128 bit、192 bit 和 256 bit 3 种形式, 不同的密钥长度其迭代的次数分别为 10 轮、12 轮、14 轮。一般在实际应用中, 经常选择密钥长度为 128 bit 或 256 bit。

AES 密码算法中字节替换(SubBytes)的关键是如何构造 S-Box。参考文献[1]中阐述了 AES 标准; RIJMEN V 提出了构造 S-Box 方法^[2]及 SubBytes 在伽罗华有限域(GF 域)的变化^[3]; OSWALD E 介绍了 ASIC^[4]的应用; EAE-MEN J 详细介绍了 AES 算法^[5]。本文具体介绍 SubBytes 在 FPGA 构造中 S-Box 的实现。

1 数学基础

1.1 字节

AES 密码算法中的每个基本数据字节 $a = \{a_7, a_6, a_5, a_4, a_3, a_2, a_1, a_0\}$ 都包含 8 bit。任何一个字节都可以在伽罗瓦有限域 $GF(2^8)$ 中以多项式表示: $a(x) = \sum_{i=0}^7 a_i x^i = a_7 x^7 + a_6 x^6 + a_5 x^5 + a_4 x^4 + a_3 x^3 + a_2 x^2 + a_1 x^1 + a_0$ 多项式中

的系数 a_i 就是对应字节中的位。

1.2 加法

多项式 $a(x), b(x) \in GF(2^8)$ 相加时记作: $a(x) \oplus b(x)$, 将多项式中对应幂的系数进行“异或”, 即

$$a(x) \oplus b(x) = \sum_{i=0}^7 a_i x^i \oplus \sum_{i=0}^7 b_i x^i = \sum_{i=0}^7 (a_i \oplus b_i) x^i。$$

1.3 乘法

多项式在 $GF(2^8)$ 上的乘法对于将 2 个多项式相乘的结果再对 1 个模为 8 的不可约多项式取模。在 AES 中, 该不可约多项式为: $m_8(x) = x^8 + x^4 + x^3 + x + 1$ 。例如:

$$(x^6 + x^4 + x^2 + x + 1) \otimes (x^7 + x + 1) \bmod (m_8(x)) = (x^{13} + x^{11} + x^9 + x^8 + x^6 + x^5 + x^4 + x^3 + 1) \bmod (x^8 + x^4 + x^3 + x + 1) = x^7 + x^6 + 1$$

2 SubBytes 算法的结构

SubBytes 是 AES 加密算法中唯一的非线性变换, 每个字节都是通过 1 个 S-Box 变换得到的, 其具体变换过程如图 1 所示。

S-Box 通过函数: $S\text{-Box}[a] = f(g(a))$ 得到, 其中 $g(a)$:

《微型机与应用》2010 年第 3 期

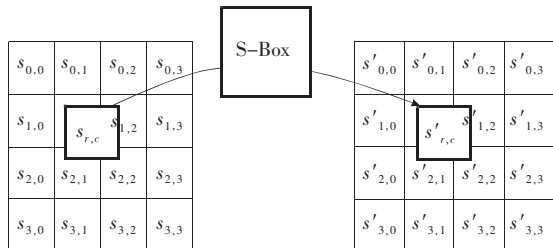


图1 S-Box 转换

$a \rightarrow a^{-1} \in GF(2^8)$; $f(a)$ 是一种仿射变换。通常域 $GF(2^8)$ 是域 $GF(2)$ 的扩展, 因此将多项式 a 转换成在 $GF(2)$ 域中的线性多项式 $a = a_h x + a_l$, 其中 $a \in GF(2^8)$, $a_h, a_l \in GF(2^4)$ 。在域 $GF(2)$ 和 $GF(2^4)$ 域中乘法的不可约分多项式分别为 $m_2(x) = x^2 + \{1\}x + \{e\}$ 和 $m_4(x) = x^4 + x + 1$ 。所以若 $a(x) \otimes b(x) = (a_h x + a_l) \otimes (b_h x + b_l) = \{0\}x + \{1\}$, 根据有限域乘法规则可知:

$$\begin{aligned} \{0\}x + \{1\} &= a(x) \otimes b(x) = (a_h x + a_l) \otimes (b_h x + b_l) = \\ & (a_h b_h x^2 + a_h b_l x + a_l b_h x + a_l b_l) \text{ mod } (m_2(x)) = \\ & (a_h b_h x^2 + a_h b_l x + a_l b_h x + a_l b_l) \text{ mod } (x^2 + \{1\}x + \{e\}) = \\ & (a_h b_h + a_h b_l + a_l b_h)x + (a_l b_l + a_h b_h \otimes \{e\}) \end{aligned}$$

根据等式两边系数关系可得:

$$\begin{cases} b_h = a_h \otimes ((a_h^2 \otimes \{e\}) \oplus (a_h \otimes a_l) \oplus a_l^2)^{-1} \\ b_l = (a_h \oplus a_l) \otimes ((a_h^2 \otimes \{e\}) \oplus (a_h \otimes a_l) \oplus a_l^2)^{-1} \end{cases} \Rightarrow \begin{cases} b_h = a_h \otimes d \\ b_l = (a_h \oplus a_l) \otimes d \end{cases} \quad d = ((a_h^2 \otimes \{e\}) \oplus (a_h \otimes a_l) \oplus a_l^2)^{-1}$$

因此通过推导得出 $a^{-1} = (a_h x + a_l)^{-1} = (b_h x + b_l)$, 由此

可得到 a^{-1} 的硬件结构图, 如图 2 所示。

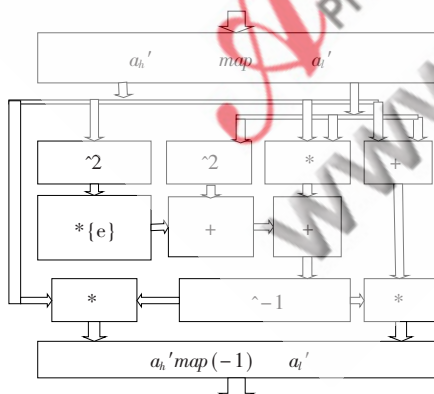


图2 硬件结构图

map 算法^[3]如下:

$$\begin{aligned} a_A &= a_1 \oplus a_7 & a_B &= a_5 \oplus a_7 & a_C &= a_4 \oplus a_6 \\ a_{A0} &= a_C \oplus a_0 \oplus a_5 & a_{A0} &= a_C \oplus a_5 \\ a_{A1} &= a_1 \oplus a_2 & a_{A1} &= a_A \oplus a_C \\ a_{A2} &= a_A & a_{A2} &= a_B \oplus a_2 \oplus a_3 \end{aligned}$$

$$a_{A3} = a_2 \oplus a_4 \quad a_{A3} = a_B$$

map⁻¹ 算法^[3]如下:

$$\begin{aligned} b_A &= a'_{11} \oplus a_{h3} & b_B &= a'_{h0} \oplus a'_{h1} \\ a_0^{-1} &= a'_{10} \oplus a'_{h0} & a_1^{-1} &= b_B \oplus a'_{h3} \\ a_2^{-1} &= b_A \oplus b_B & a_3^{-1} &= b_B \oplus a'_{11} \oplus a'_{12} \\ a_4^{-1} &= b_A \oplus b_B \oplus a'_{13} & a_5^{-1} &= b_B \oplus a'_{12} \\ a_4^{-1} &= b_A \oplus a'_{12} \oplus a'_{13} \oplus a'_{h0} & a_7^{-1} &= b_B \oplus a'_{12} \oplus a'_{h3} \end{aligned}$$

由此通过计算可以得到 $g(a)$ 变换, 如图 3 所示。

x \ y	0	1	2	3	4	5	6	7	8	9	a	b	c	d	e	f
0	00	01	8d	f6	cb	52	7b	d1	e8	4f	29	c0	b0	e1	e5	c7
1	74	b4	aa	4b	99	2b	60	5f	58	3f	fd	cc	ff	40	ee	b2
2	3a	6e	5a	f1	55	4d	a8	c9	c1	0a	98	15	30	44	a2	c2
3	2e	45	92	6c	f3	39	66	42	f2	35	20	6f	77	bb	59	19
4	1d	fe	37	67	2d	31	f5	69	a7	64	ab	13	54	25	e9	09
5	ed	5c	05	ca	4c	24	87	bf	18	3e	22	f0	51	ec	61	17
6	16	5e	af	d3	49	a6	36	43	f4	47	91	df	33	93	21	3b
7	79	b7	97	85	10	b5	ba	3c	b6	70	d0	06	a1	fa	81	82
8	83	7e	7f	80	96	73	be	56	9b	9e	95	d9	f7	02	b9	a4
9	de	6a	32	6d	d8	8a	84	72	2a	14	9f	88	f9	dc	89	9a
a	4b	7c	2e	e3	8f	b8	65	48	26	c8	12	4a	ce	e7	d2	62
b	0c	e0	1f	ef	11	75	78	71	a5	8e	76	3d	bd	bc	86	57
c	0b	28	2f	a3	da	d4	e4	0f	a9	27	53	04	1b	fc	ac	e6
d	7a	07	ae	63	e5	db	e2	ea	94	8b	e4	d5	9d	f8	90	6b
e	b1	0d	d6	eb	c6	0e	ef	ad	08	4e	d7	e3	5d	50	1e	b3
f	5b	23	38	34	68	46	03	8c	dd	9c	7d	a0	cd	1a	41	1c

图3 $g(a)$ 变换

$f(a)$ 仿射变换的函数如下:

$$\begin{bmatrix} a'_0 \\ a'_1 \\ a'_2 \\ a'_3 \\ a'_4 \\ a'_5 \\ a'_6 \\ a'_7 \end{bmatrix} = \begin{bmatrix} 1 & 0 & 0 & 0 & 1 & 1 & 1 & 1 \\ 1 & 1 & 0 & 0 & 0 & 1 & 1 & 1 \\ 1 & 1 & 1 & 0 & 0 & 0 & 1 & 1 \\ 1 & 1 & 1 & 1 & 0 & 0 & 0 & 1 \\ 1 & 1 & 1 & 1 & 1 & 0 & 0 & 0 \\ 0 & 1 & 1 & 1 & 1 & 1 & 0 & 0 \\ 0 & 0 & 1 & 1 & 1 & 1 & 1 & 0 \\ 0 & 0 & 0 & 1 & 1 & 1 & 1 & 1 \end{bmatrix} \times \begin{bmatrix} a_0 \\ a_1 \\ a_2 \\ a_3 \\ a_4 \\ a_5 \\ a_6 \\ a_7 \end{bmatrix} + \begin{bmatrix} 1 \\ 1 \\ 0 \\ 0 \\ 1 \\ 1 \\ 0 \\ 0 \end{bmatrix}$$

根据 S-Box 变换过程的函数得到 $S\text{-Box}[a] = f(g(a))$ 。通过计算, 最后可得 S-Box 字节替换, 如图 4 所示。

3 综合及测试结果

本设计用 Verilog HDL 语言进行行为级描述, 选用 Altera 公司的 EP1S10B672C6 芯片, 通过 Quartus II 软件综合的逻辑单元总消耗为 85 (芯片总资源为 10 570 ↑ LE)。

在 Modelsim SE 软件中进行仿真, 其仿真结果如图 5 所示。

x \ y	0	1	2	3	4	5	6	7	8	9	a	b	c	d	e	f
0	63	7c	77	7b	f2	6b	6f	c5	30	01	67	2b	fe	d7	ab	76
1	ea	82	c9	7d	fa	59	47	f0	ad	d4	a2	af	9c	a4	72	c0
2	b7	fd	93	26	36	3f	f7	cc	34	a5	e5	f1	71	d8	31	15
3	04	c7	23	c3	18	96	05	9a	07	12	80	e2	eb	27	b2	75
4	09	83	2c	1a	1b	6e	5a	a0	52	3b	d6	b3	29	e3	2f	84
5	53	d1	00	ed	20	fc	b1	5b	6a	cb	be	39	4a	4c	58	cf
6	d0	ef	aa	fb	43	4d	33	85	45	f9	02	7f	50	3c	9f	a8
7	51	a3	40	8f	92	9d	38	f5	bc	b6	da	21	10	ff	f3	d2
8	cd	0e	13	ee	5f	97	44	17	c4	a7	7e	3d	64	5d	19	73
9	60	81	4f	dc	22	2a	90	88	46	ee	b8	14	de	5e	0b	db
a	e0	32	3a	0a	49	06	24	5c	e2	d3	ac	62	91	95	e4	79
b	e7	c8	37	6d	8d	d5	4e	a9	6c	56	f4	ea	65	7a	ae	08
c	ba	78	25	2e	1c	a6	b4	06	e8	dd	74	1f	4b	bd	8b	8a
d	70	3e	b5	66	48	03	f6	0e	61	35	57	b9	86	c1	1d	9e
e	e1	f8	98	11	69	d9	8e	94	9b	1e	87	e9	ce	55	28	df
f	8c	a1	89	0d	bf	e6	42	68	41	99	2d	0f	b0	54	bb	16

图4 S-Box 字节替换

AES 加密算法中的 SubBytes, 在加密过程、密钥扩展中得到了具体的应用。本文通过分析 SubBytes 算法, 介

绍了一种适合硬件结构的设计方法。结合此种设计方法, 在整个 AES 加密过程中可以分级流水、加快 AES 加密速度、提高硬件的工作效率。

参考文献

- [1] NIST. Advanced Encryption Standard (AES)[S]. FIPS PUBS 197, National Institute of Standards and Technology, 2001.
- [2] RIJMEN V. Efficient implementation of the Rijndael SBox [EB/OL]. <http://www.esat.kuleuven.ac.be/~rijmen/rijndael>, 1999.
- [3] WOLKERSTORFER J, OSWALD E, An ASIC implementation of AES S-Boxes[C]. Springer Verlag Berlin Heidelberg, 2002:67-68.
- [4] OSWALD E. A side-channel analysis resistant description of the AES S-Box [C]. Springer Verlag:12th International Workshop on Fast Software Encryption, 2005:413-423.
- [5] EAEMEN J. 高级加密标准(AES)算法—Rijndael 的设计[M]. 北京:清华大学出版社, 2003.



图5 仿真结果

(收稿日期: 2009-09-02)

作者简介:

姜强, 男, 1985 年生, 硕士研究生, 主要研究方向: 存储加密、光纤通道(FC)和 FPGA 技术。